

GMA 용접의 아크 빛 모델링 및 용접선 추적에의 응용

Modeling of Arc Light Intensity and Its Application to Weld Seam Tracking in GMAW

선우희권*, 유용상, 최상균, 유중돈

* LG 산전

한국과학기술원, 기계공학과

1. 서론

아크 센서는 용접선 추적용으로 널리 사용되며, 아크 길이가 변화할 때 용접 전류 또는 전압이 변화하는 특성을 이용하여 그루브 형상에 관한 정보를 얻을 수 있고 용접선 추적에 응용될 수 있다[1,2]. 본 연구는 GTA 용접에서 아크 빛이 아크 길이에 관련된 깨끗한 신호를 발생시키는데 착안하여 이를 GMA 용접에 적용하고자 하였다[3]. GMA 용접에서 아크 빛과 용접 조건의 관계를 플라즈마의 열 평형을 이용하여 유도하고 실험을 통하여 검증하였다. 또한, 용접선 추적용 신호 처리 방법으로 사용되는 최소 오차 자승법 [1] 과 적분법 [2]의 성능을 용접선 추적 실험을 통하여 비교하였다.

2. 아크 빛의 모델링

아크 체적의 대부분은 플라즈마로 구성되어 있으며 플라즈마에서 발생하는 복사열에 의하여 대부분의 아크 빛이 방출된다. 평형 상태에서 플라즈마에서 발생하는 저항열 (joule heating)은 전도와 대류 및 복사에 의한 열 손실과 같다.

$$\dot{Q}_{\text{joule}} = \dot{Q}_{\text{cond}} + \dot{Q}_{\text{conv}} + \dot{Q}_{\text{rad}} \quad (1)$$

위의 식에서 저항열 \dot{Q}_{joule} 은 용접 전류와 플라즈마의 전압 강하의 곱으로 나타낼 수 있다.

Ayrton의 식을 이용하여 플라즈마의 전압을 표현하면 저항열은 다음과 같다.

$$\dot{Q}_{\text{joule}} = I_a V_p = (k_3 + k_4 I_a) I_a L_a \quad (2)$$

전도 및 대류에 의한 열손실을 유도하기 위하여 다음과 같이 가정하였다. (1) 아크의 형상은 원통이며, (2) 아크의 온도는 일정하며, (3) 계산에 사용되는 물리적 특성은 상수이다. 이와 같은 가정아래 전도 및 대류에 의한 열손실은 다음과 같다.

$$\dot{Q}_{\text{cond}} = \kappa A_s \frac{T_a - T_o}{\delta_e} = 2\pi \kappa R_a \frac{T_a - T_o}{\delta_e} L_a \quad (3)$$

$$\dot{Q}_{\text{conv}} = \rho (2\pi R_a) \alpha v_{\text{out}} (h_{\text{out}} - h_{\text{in}}) L_a \quad (4)$$

이 때, κ 는 열전도계수, A_s 는 실린더의 옆면적 ($= 2\pi R_a L_a$), δ_e 는 길이(effective length), T_a 와 T_o 는 아크와 주변의 온도를 각각 나타내며, α 는 비례 상수이다. 위의 식에서 전도와 대류에 의한 열전달은 아크 길이에 비례하는 것을 알 수 있다. 복사열은 아래와 같이 구할 수 있다.

$$\dot{Q}_{\text{rad}} = ((k_3 + k_4 I_a) I_a - K) L_a = K^* L_a \quad (5)$$

$$K = 2\pi R_a \left\{ K \frac{T_a - T_o}{\delta_e} + \rho_{\text{out}} \alpha v_{\text{out}} (h_{\text{out}} - h_{\text{in}}) \right\} \quad (6)$$

아크 길이는 contactor 와 모재의 거리 L 에서 용접봉 돌출 길이를 빼면 구할 수 있으며, 용접봉 돌출 길이의 변화는 용접봉 송급 속도와 용접봉의 용융 속도로 부터 구할 수 있다.

$$\frac{dL_e}{dt} = v_w - (k_5 I_a + k_6 L_e I_a^2) \quad (7)$$

$$L_a = L - L_e \quad (8)$$

이 때, L_e 는 돌출 길이, v_w 는 용접봉 송급 속도, k_5 와 k_6 는 상수이다. 아크 길이는 측정한 용접 전류를 이용하여 수치적으로 구한다.

3. 용접선 추적용 신호처리 알고리즘

최소 오차 자승법은 CO_2 가스를 사용하는 경우와 같이 신호에 노이즈가 클 때 적용하기 위하여 개발된 것으로 반 위빙 주기 (half weaving cycle) 의 신호를 2차 함수로 맞춤(fitting) 하여 그루브의 중심을 추정한다. 적분법은 위빙시 그루브의 중심에 대한 좌우의 신호를 시간에 따라 적분한 결과를 이용하여 용접선의 이탈량 (deviation) 을 구한다. 적분법은 원리가 간단하고 계산 시간이 짧지만 CO_2 가스를 사용하는 경우나 용접 전류의 신호처리에 적용된 사례가 없다. 본 연구에서는 최소 오차 자승법과 적분법의 성능을 비례 제어기를 이용한 용접선 추적 실험 결과를 이용하여 비교하였다.

4. 실험

실험 장치는 Fig.2에 보인 바와 같고, 아크 빛은 작은 구멍 (pin-hole)을 통하여 세기가 감소되고 렌즈 및 광섬유를 통하여 photodiode에 전달되었다. 필터링된 아크 빛, 용접 전류, 용접 전압, 그리고 토치의 위빙 방향 신호를 각각 100 Hz로 동시에 샘플링하였으며 이로부터 용접선의 이탈량을 계산하여 토치의 위치를 보정하였다.

직경 1.2 mm인 강용접봉을 이용하여 V-그루브에서 위빙을 하며 직선 용접을 수행하였다. 분위기 가스로 아르곤과 CO₂ 가스를 20 liter/min로 공급하였고, 용접봉 이송 속도는 4 mm/s로 하였다. 모델의 확인과 위빙 속도의 영향을 관찰하기 위하여 아르곤 가스를 사용하였고 위빙 주기를 0.5와 1 Hz로 하였다. 위빙 폭이 10 mm이므로 평균 위빙 속도는 0.5와 1 Hz에 대하여 10과 20 mm/s이다. 또한 신호처리 알고리즘의 성능을 비교하기 위하여 CO₂ 가스를 사용하여 원래 토치의 궤적에서 5도 회전시킨 용접선을 추적하였다.

5. 결과 및 고찰

실험을 통하여 측정된 용접 전류와 아크 빛의 세기를 Fig.3에 나타내었다. 용접봉이 그루브의 중심에 접근하면 용접 전류는 감소하지만, 아크 길이가 길어지므로 아크 빛의 세기는 증가한다. 즉 아크 빛은 용접 전류보다 아크 길이에 의해 더 큰 영향을 받는다. 위빙 주기가 0.5 Hz인 경우에는 self-adjusting 효과가 크게 작용하여 그루브의 높이 변화를 정확하게 예측하기 어렵다. 그러나 위빙 주기가 1 Hz인 경우는 self-adjusting 효과에 의해 아크 길이가 변화하는 것보다 위빙 속도가 상대적으로 크므로 그루브의 형상에 따라 변화하는 깨끗한 신호를 얻을 수 있다.

아크 길이 및 복사열을 계산한 결과를 Fig.4에 나타내었다. 계산에 사용된 상수 값은 Table.1에 나타내었다. Fig.4a에서 용접봉 돌출 길이의 변화는 비교적 작으며 그루브의 형상을 정확히 예측하였다. Fig.4b를 보면 계산된 복사열은 비교적 정확하게 아크 빛의 세기와 일치한다. 이 결과로 부터 플라즈마의 열평형을 이용한 모델이 아크 빛의 세기를 예측할 수 있고 용접선 추적에 응용할 수 있음을 알 수 있다.

분위기 가스에 따른 아크 빛과 용접 저항의 변화를 Fig.5에 나타내었다. 본 연구에서 용접저항을 측정한 이유는 용접 저항이 용접 전류와 큰 차이가 없으며 아크 빛의 세기와 위상차가 없으므로 비교하는 데 용이하기 때문이다. 아르곤 가스를 사용한 경우는 용접 저항과 아크 빛 모두 양질의 신호를 나타내는 반면, CO₂ 가스를 사용할 때에는 용접 저항 신호로 부터 그루브의 형상을 판별하기 어렵고 아크 빛의 경우에는 대략적인 그루브 정보만을 알 수가 있다. 따라서 CO₂ 가스를 사용하는 경우에는 정확한 용접선의 위치를 추정하기

위하여 신호처리 알고리듬을 사용하여야 한다.

용접선 추적은 CO₂ 가스를 사용하여 최소 오차 자승법과 적분법을 사용하여 수행하였다. 용접선이 원래의 용접 경로에서 5 도 회전된 경우에 용접 저항과 아크 빛을 이용하여 용접선을 추적한 결과를 Fig.6에 나타내었다. 그림에서 x 축은 용접봉 진행 방향, y 축은 위빙 방향을 나타낸다. 각 경우에 대하여 대략 1.5 mm 오차 내에서 용접선을 추적할 수 있었다. 그러므로 CO₂ 가스를 사용하는 경우에도 최소 자승법이나 적분법에 의한 신호처리를 통하여 비교적 정확하게 용접선의 위치를 추정할 수 있다. 이 두 방법은 거의 동일한 오차 내에서 용접선을 추적하였으므로 성능은 비슷하다고 판단된다.

연구 결과로부터 볼 수 있듯이 CO₂ 가스를 사용하는 경우에 아크 빛을 이용하면 신호의 질이 향상된다. 그러나 GTA 용접에서와 같이 아크 센서를 대체할 만큼 월등한 성능을 보이지는 못하였다. 또한 아크 빛 측정 센서의 가격이 current shunt에 비하여 높고 아크 빛이 장애물에 의하여 가려지는 *occulsion* 등의 문제점들을 고려할 때 용접 전류를 사용하는 것이 바람직하며, 신호의 질이 떨어지는 문제는 신호처리로 극복할 수 있는 것으로 판단된다. 신호처리 방법으로는 최소 오차 자승법과 적분법이 유사한 성능을 나타내었으나, 적분법이 계산 시간이 짧고 알고리즘이 간단하므로 최소 오차 자승법에 비하여 유리하다.

6. 결론

아크 빛에 관한 모델링과 용접선 추적 결과로 부터 다음의 결론을 얻을 수 있다.

- (1) 아크 빛의 세기를 플라즈마의 열평형으로 부터 용접 전류와 아크 길이의 함수로 유도하였다. 아크 빛의 세기는 용접 전류에 비하여 아크 길이에 의해 큰 영향을 받으며 실험 결과와 비교적 정확하게 일치하였다.
- (2) 위빙 속도가 증가함에 따라 self-adjusting 효과가 감소하여 신호의 질이 좋아지며 그루브의 높이 변화를 정확하게 예측할 수 있다.
- (3) CO₂ 가스를 사용하는 경우, 아크 빛이 용접 저항이나 전류에 비하여 깨끗한 위빙 신호를 발생한다. 아크 빛과 용접 저항을 이용하여 용접선을 추적할 수 있었으며 최소 오차 자승법이나 적분법의 성능은 비슷하였다.

References

1. 김재옹, 나석주 : "아크센서를 이용한 용접선 추적장치", 대한용접학회지, 제 6 권, 제 4 호, 1988, pp. 1-6
2. Sugitani, Y., et al. : "CAD/CAM welding robot system in steel bridge panel fabrication", Quarterly J. of Japan Welding Society, Vol.13, No. 1, 1995, pp. 28-38.

3. 유중돈 : “완전 용입 풀의 진동을 이용한 형상 측정에 관한 연구”, 대한 용접학회지, 제 11 권, 제 2 호, 1993, pp. 62-73
4. Cram, L.E. : “A model of the cathode of a thermionic arc”, J. of Physics D: Applied Physics, Vol. 16, 1983, pp.1643-1650
5. Lancaster, J.F. : The physics of welding, Pergamon Press, 1985.
6. Kim, J.W and Na, S.J. : “A study on prediction of welding current in GMAW, Part 1: modeling of welding current in response to change of tip-to-workpiece distance”, Proc. Instn. Mech. Engrs., Vol. 205, 1991, pp. 59-63
7. Cook, G.E., et al. : “Analyzing arc welding signals with a microcomputer”. Conf. Recent IEEE Industry Applications, Society Annual Meeting, 1982, pp.1282-1288.

Table 1. Values of parameters and constants

Variables	Value
α	0.3
δ_e	100 mm
κ	0.486 W/mK
ρ	0.09732 Kg/m ³
h_m	348.6 KJ/Kg
h_{out}	2600 KJ/Kg
k_1	15.22 V
k_2	0.0307 V/A
k_3	0.6315 V/mm
k_4	1.02×10^{-5}
k_5	0.311 mm/s.A
k_6	$4.63 \times 10^{-5} \text{ s}^{-1} \text{ A}^{-1}$
R_a	3 mm
T_a	12000 K
T_b	300 K
v_{out}	50 m/s

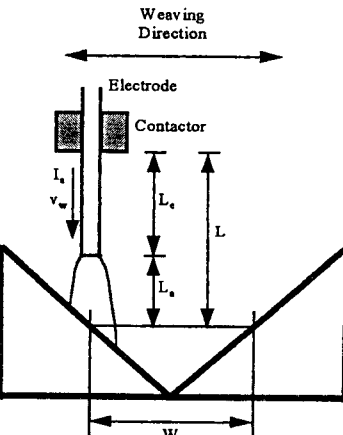


Fig. 1. Configuration of GMAW in V-groove

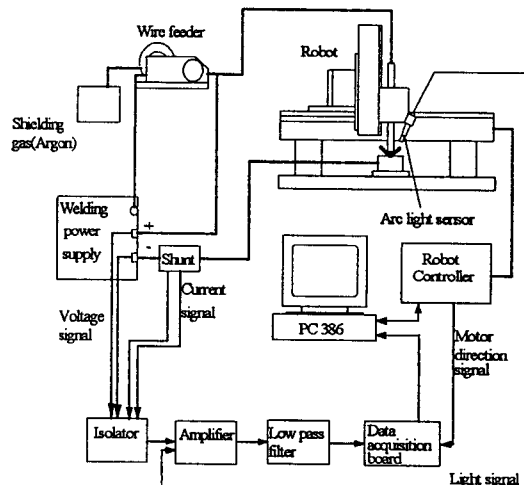
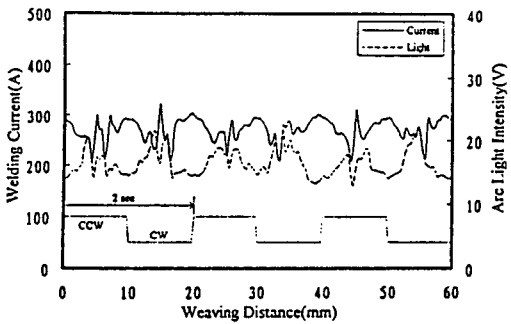
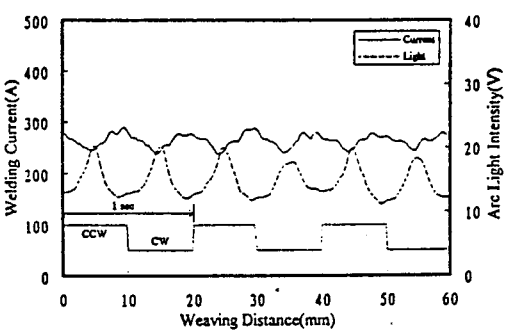


Fig.2 Schematic diagram of experimental system

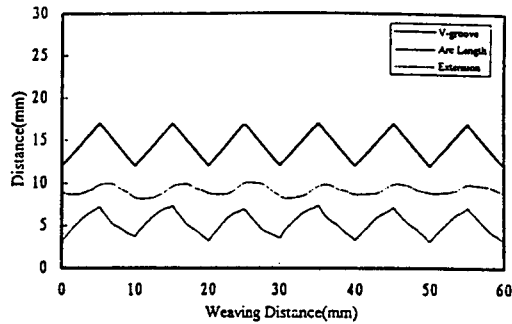


(a)

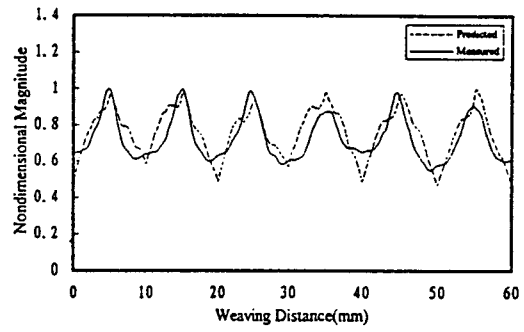


(b)

**Fig. 3 Measured welding current and arc light intensity during weaving
(a) 0.5 Hz (b) 1 Hz**

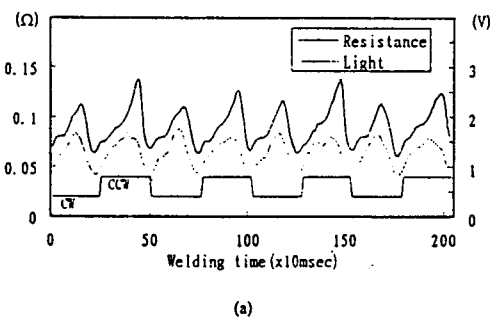


(a)

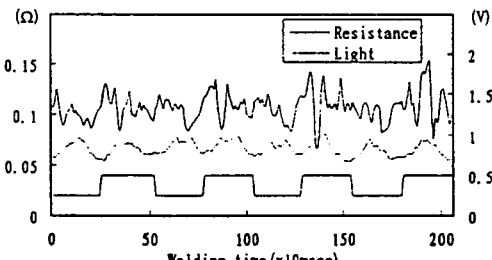


(b)

**Fig. 4 Comparision between prediction and measurement at 1 Hz
(a) arc length (b)arc light intensity**

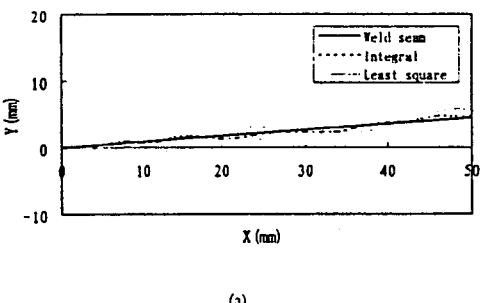


(a)

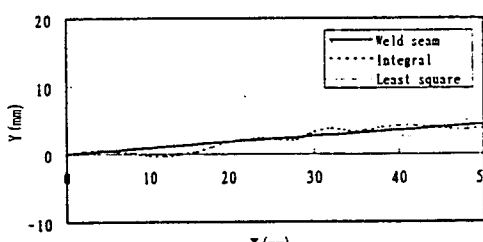


(b)

**Fig. 5 Comparision of welding resistance and arc light intensity signals
(a) Argon (b) CO₂**



(a)



(b)

**Fig. 6 Performance of seam tracking in CO₂
(a) using welding resistance
(b) using arc light intensity**